

นิพนธ์ต้นฉบับ

การประมาณน้ำไหลบ่าและของแข็งแขวนลอยทั้งหมดของระบบป่าเกษตรแบบสวนไม้ผลผสมที่ไม่ถูกรบกวนจากดินถล่มและที่มีการทดแทนตามธรรมชาติ

Estimation of Surface Runoff and Total Suspended Solids of Mixed Fruit Tree-based Agroforestry System As A Result of Landslides and Under Natural Succession

จรัณธร บุญญาณภพ^{1*}

Jaruntorn Boonyanuphap^{1*}

กัญจน์ชญา เม้าสีว²

Kanchaya Maosew²

ปทุมกร มูลทะสิทธิ¹

Pathamakorn Moolthasit¹

พรสวาร์ค ทุมมันดา¹

Pornsawan Tummanta¹

¹คณะเกษตรศาสตร์ ทรัพยากรธรรมชาติและสิ่งแวดล้อม มหาวิทยาลัยนเรศวร พิษณุโลก 65000

Faculty of Agriculture Natural Resources and Environment, Naresuan University, Phitsanulok 65000, THAILAND

²มูลนิธิสถาบันสิ่งแวดล้อมไทย ปากเกร็ด นนทบุรี 11120

Thailand Environment Institute Foundation (TEI), Pakkred, Nonthaburi 11120, THAILAND

*Corresponding Author, E-mail: charuntornb@nu.ac.th

รับต้นฉบับ 31 กรกฎาคม 2562

รับแก้ไข 18 ธันวาคม 2562

รับลงพิมพ์ 24 ธันวาคม 2562

ABSTRACT

Landslides can cause frequent ecological impacts on upstream watersheds. Areas damaged by landslides accelerate the erosion process, making it more severe, which is also a main cause of soil loss induced by increasing the total suspended solids during each event. This study aimed to estimate the soil loss caused by erosion during both normal condition and 10-year landslide condition in a mixed fruit tree-based agroforestry in Maepoon sub-district, Lablae district, Uttaradit province by analyzing the correlation between rainfall and surface runoff in each rainfall event. The rainfall amounts of a single rain event were collected during the rainy season from January 2016 to October 2016. The study indicated that the amounts of surface runoff were significantly different when compared between fruit tree-based agroforestry and landslide-damaged area with an average of 1.25 mm and 2.37 mm, respectively. Soil loss was higher in landslide-damaged area compared to the mixed fruit tree-based agroforestry with a rate of $65.25 \text{ kg rai}^{-1} \text{ year}^{-1}$ or $0.408 \text{ ton ha}^{-1} \text{ year}^{-1}$. This study provides a better understanding of landslide-induced hydrological change in the upstream watersheds, which can be essential for decision making in finding the guidelines for soil erosion and sediment control in the future.

Keywords: Soil loss, Erosion, Surface runoff, Landslide, Agroforestry system

บทคัดย่อ

ดินถล่มสามารถส่งผลกระทบเชิงนิเวศอย่างต่อเนื่องต่อพื้นที่ดันน้ำ พื้นที่เสียหายจากดินถล่มเร่งให้เกิดกระบวนการกร่อนของดินให้รุนแรงยิ่งขึ้น และเป็นสาเหตุหลักของการสูญเสียดินจากการเพิ่มปริมาณของแข็งแหวนลอยทั้งหมดในสวนไม้ผลผสมแบบวนเกษตรทั้งภายในได้สถานการณ์ปกติที่ไม่เกิดดินถล่มและภายในได้กระบวนการกรดแทนตามธรรมชาติภายหลังจากเกิดดินถล่มมาแล้ว 10 ปี พร้อมทั้งประเมินการสูญเสียหน้าดินที่เกิดจากการกร่อนของดิน บริเวณพื้นที่ดันน้ำของตำบลแม่พุ่ล อำเภอลับแล จังหวัดอุตรดิตถ์ โดยที่กำหนดจำนวนแปลงทดลอง 3 แปลงสำหรับสวนไม้ผลผสมแบบวนเกษตรแต่ละสถานการณ์ โดยดำเนินการวิเคราะห์ความสัมพันธ์ระหว่างปริมาณน้ำฝนแต่ละเหตุการณ์และปริมาณน้ำไหล哺หน้าดิน ด้วยเทคนิคการวิเคราะห์สหสัมพันธ์ เพียร์สัน ระหว่างเดือนมกราคม 2559 ถึงเดือนตุลาคม 2559 พบร่วม ปริมาณน้ำไหล哺หน้าดินของสวนไม้ผลผสมแบบวนเกษตรและพื้นที่ที่เคยเกิดดินถล่มมีความแตกต่างกันอย่างมีนัยสำคัญทางสถิติ โดยมีค่าเฉลี่ยอยู่ที่ 1.25 และ 2.37 มิลลิเมตร ของปริมาณน้ำฝนทั้งหมด ตามลำดับ ปริมาณของแข็งแหวนลอยทั้งหมดของพื้นที่ที่เคยเกิดดินถล่มมากกว่าพื้นที่สวนไม้ผลผสมแบบวนเกษตร 65.25 กิโลกรัม/ไร่/ปี หรือ 0.408 ตัน/ hectare/ปี ผลจากการศึกษาฯทำให้เกิดความเข้าใจยิ่งขึ้นต่อการเปลี่ยนแปลงทางอุทกวิทยาของพื้นที่แหล่งดันน้ำอันเนื่องมาจากดินถล่ม ซึ่งเป็นข้อมูลที่จำเป็นต่อการตัดสินใจค้นหาแนวทางการควบคุมการกร่อนของดินและลดปริมาณการสูญเสียหน้าดินในอนาคต

คำสำคัญ: การสูญเสียดิน การกร่อน น้ำไหล哺หน้าดิน ดินถล่ม ระบบวนเกษตร

คำนำ

การเปลี่ยนแปลงภูมิทัศน์อันเนื่องมาจากการเปลี่ยนแปลงของมนุษย์ รวมถึงกระบวนการทางธรรมชาติอาจส่งผลต่อการตอบสนองทางอุทกวิทยา (hydrologic response) และกระบวนการทางนิเวศวิทยา (ecological process) ตั้งแต่พื้นที่ขนาดเล็กเพียงบริเวณเดียวจนขยายทั่วทั้งพื้นที่ลุ่มน้ำ (Wigmosta *et al.*, 2009) เส้นลุ่มน้ำในบริเวณตัวแห่งทางไหลออกของพื้นที่ลุ่มน้ำ (watershed outlets) ได้ถูกเชื่อมต่อกันเข้ากับพื้นที่ลุ่มน้ำตอนล่างที่อยู่ติดกัน (downstream watershed) หากเกิดภาวะรบกวนระบบนิเวศที่เชื่อมต่อกันดังกล่าว จะส่งผลอย่างมากต่อสมบัติและหน้าที่ของระบบนิเวศแห่งนั้น (Vannote *et al.*, 1980) การเปลี่ยนแปลงของระบบนิเวศจากสิ่งรบกวน เช่น การตัดหรือเคลื่อนย้ายพรรณพืชที่ปกคลุมดินออกจากพื้นที่ การบดอัดดินให้แน่น หรือการเกิดดินถล่ม ซึ่งเป็นธรณีพิบัติภัย (geological hazard) ทางธรรมชาติอย่างหนึ่งที่เกิดขึ้นจากการเปลี่ยนแปลงทางธรรมชาติ พบเห็นได้ทั่วไปในบริเวณภูมิประเทศที่

มีสภาพเป็นภูเขาสูง โดยเฉพาะพื้นที่ลาดเช้าที่มีความชันสูง ดินถล่มสามารถก่อให้เกิดผลกระทบอย่างรุนแรงต่อการเพิ่มขึ้นของปริมาณน้ำไหล哺หน้าดิน ซึ่งส่งผลให้เกิดการทับถมและการสะสมของตะกอนที่เพิ่มมากขึ้นในลุ่มน้ำต่างๆ (Crim *et al.*, 2011) เหตุการณ์ดินถล่มบริเวณพื้นที่แหล่งดันน้ำของตำบลแม่พุ่ล อำเภอลับแล จังหวัดอุตรดิตถ์ ในปี 2549 ซึ่งพื้นที่ดังกล่าวส่วนใหญ่เป็นสวนไม้ผลผสมแบบวนเกษตร (mixed fruit tree-based agroforestry) โดยได้รับความเสียหายจากเหตุการณ์ดินถล่มประมาณ 4,992 ไร่ หรือร้อยละ 6.1 ของพื้นที่ตำบลแม่พุ่ล อีกทั้งพื้นที่ดังกล่าวยังเป็นแหล่งเกษตรเศรษฐกิจที่สำคัญที่สุดแห่งหนึ่งของจังหวัดอุตรดิตถ์ (Boonyanuphap, 2013) บริเวณแหล่งดันน้ำตากล่าว เป็นแหล่งบริการทางนิเวศที่มีความสำคัญต่อชุมชนท้องถิ่นตำบลแม่พุ่ล ทั้งด้านเศรษฐกิจและสังคมที่มีลักษณะเป็นสังคมเกษตรกรรมแบบกึ่งเมืองกึ่งชนบท มีการผสมผสานกันระหว่างความเป็นเมืองที่หลักครัวเรือนเริ่มเปลี่ยนไปเป็นครอบครัวเดี่ยวและประกอบอาชีพ

ค้าขายหรือทำธุรกิจ เกษตรกรบางกลุ่มเน้นการใช้สารเคมีและเทคโนโลยีเพื่อเพิ่มผลผลิตทางการเกษตร ขณะที่กลุ่มเกษตรกรบางส่วนยังคงมีวิถีชีวิตที่เรียบง่าย ทำการเกษตรที่ใกล้ชิดและพึ่งพาทรัพยากรธรรมชาติจากแหล่งต้นน้ำ (Boonyanuphap and Thonglem, 2011)

เหตุการณ์ดินถล่มในปี 2549 ได้ส่งผลกระทบต่อโครงสร้างของสังคมพืชและองค์ประกอบของชนิดพรรนพืช (Boonyanuphap et al., 2019a) ความอุดมสมบูรณ์ของหน้าดิน รวมทั้งทำให้ระบบนิเวศเหล่งต้นน้ำ ในเขตตำบลแม่พูลสูญเสียบทบาทหนักที่ของการบริการเชิงนิเวศด้านอื่นที่ไม่ต้องขุด深ท้องดินอย่างต่อเนื่องจนถึงปัจจุบัน เช่น การสูญเสียชนิดพรรนไม่เศรษฐกิจในห้องถังที่มีคุณค่าทางนิเวศ การสูญเสียวงจรของธาตุหลักในดินที่จำเป็นต่อการควบคุมความสมดุลของระบบธรรมชาติ การลดลงของศักยภาพในการกักเก็บน้ำในดิน และการกักเก็บการบ่อนของระบบนิเวศเหล่งต้นน้ำ เป็นต้น (Maosew and Boonyanuphap, 2017; Wongmun et al., 2017; Maosew et al., 2019a; Maosew et al., 2019b; Wongmun et al., 2019a; Wongmun et al., 2019b) นอกจากนี้ การเปิดหน้าดินของพื้นที่ดินถล่มบริเวณเหล่งต้นน้ำ ถือได้ว่าเป็นผลกระแทกเชิงนิเวศที่สำคัญภายหลังจากเหตุการณ์ดินถล่ม ดังกล่าว โดยเป็นการเร่งกระบวนการชะล้างพังทลายให้รุนแรงยิ่งขึ้นและเกิดขึ้นอย่างต่อเนื่อง ทำให้เกิดปัญหาคุณภาพน้ำและการทับถมของตะกอนดินในลำน้ำและเหล่งน้ำผิวดิน ทำให้เหล่งน้ำตันเขินและเกิดเป็นสันดอนซึ่งส่งผลกระทบโดยตรงต่othุนของทรัพยากรน้ำที่มีอยู่เดิมภายในพื้นที่ลุ่มน้ำของตำบลแม่พูล อำเภอลับแล จังหวัดอุตรดิตถ์

การกร่อนของดิน (soil erosion) เป็นกระบวนการที่เกิดจากการที่มีแรง (เช่น น้ำ หรือ ลม) มากจากทำให้ วัตถุ ธาตุ หรือสารเกิดการแตกออกจากการกัน แล้วเกิดการเคลื่อนย้ายของอนุภาคดิน สาร หรือวัตถุธาตุไปตกตะกอนทับถมอีกแห่งหนึ่ง (Tangtham, 2002) ทั้งนี้ การสูญเสียดินจากการกร่อนเป็นการเพิ่มปริมาณของแข็งในน้ำเหล่งตั้งหน้า (total suspended solids) ที่อยู่

ในน้ำไหลป่าหน้าดิน (surface runoff) ระหว่างฝนตกแต่ละเหตุการณ์ (Chow et al., 2011) ปริมาณของแข็งในน้ำเหล่งตั้งหน้าเพียงส่วนใดๆโดยตรงต่อคุณภาพน้ำ ยังทำให้เกิดปัญหาต่ออินอาศัยของสิ่งมีชีวิตในแหล่งน้ำ และทัศนียภาพของแหล่งน้ำ นอกจากนี้ ของแข็งในน้ำเหล่งตั้งหน้าที่อยู่ในน้ำยังเป็นตัวกลางในการสะสม เคลื่อนย้าย และกักเก็บมลพิษต่างๆ ซึ่งรวมถึงสารอาหารและโลหะหนักด้วยเช่นกัน (U.S. EPA, 1999) Boonyanuphap et al. (2016) กล่าวว่า จากการสำรวจพื้นที่แหล่งต้นน้ำในเขตตำบลแม่พูลภัยหลังจากเหตุการณ์ดินถล่มครั้งรุนแรงในปี 2549 ระหว่างปี 2550–2556 พบร่องรอยที่ส่วนไม่มีผลผสมและพื้นที่ป่าธรรมชาติหลายแห่งเกิดดินถล่มระดับดินที่ไม่รุนแรงมากซึ่งในบริเวณเดิมและเกิดดินถล่มในพื้นที่แห่งใหม่ (shallow and secondary landslides) ตามมาอย่างต่อเนื่อง เหตุการณ์ดังกล่าวเป็นการเร่งให้เกิดกระบวนการกร่อนของหน้าดินและส่งผลให้เกิดการสูญเสียดินที่รุนแรงยิ่งขึ้น นอกจากนี้ ยังไม่พบรายงานการวิจัยที่เกี่ยวข้องกับการศึกษาความสัมพันธ์ระหว่างปริมาณน้ำฝน ปริมาณน้ำไหลป่า และปริมาณของแข็งในน้ำเหล่งตั้งหน้าดินที่ถูกกระบวนการจากภัยพิบัติดินถล่มในประเทศไทย ดังนั้น การศึกษาครั้นี้ได้ประมาณปริมาณน้ำไหลป่าและปริมาณของแข็งในน้ำเหล่งตั้งหน้าดินในส่วนไม่มีผลผสมแบบวนเกษตรบริเวณแหล่งต้นน้ำของตำบลแม่พูล ภายใต้สถานการณ์ปกติและกระบวนการทดแทนตามธรรมชาติภายหลังจากเกิดดินถล่มมาแล้ว 10 ปี พร้อมทั้งสร้างแบบจำลองความสัมพันธ์ระหว่างปริมาณน้ำฝนและปริมาณน้ำไหลป่า (rainfall-runoff modeling) ซึ่งแบบจำลองความสัมพันธ์ดังกล่าว ทำให้เข้าใจกระบวนการทางอุทกวิทยาและระบบอุทกวิทยาของระบบนิเวศที่ถูกกระบวนการจากภัยพิบัติได้ดียิ่งขึ้นเมื่อเปรียบเทียบกับระบบนิเวศตามสภาพดั้งเดิม โดยเฉพาะบริเวณแหล่งต้นน้ำที่มีสภาพภูมิประเทศสูงขึ้น ซึ่งมีข้อจำกัดในการติดตั้งเครื่องตรวจวัดข้อมูลทางอุทกวิทยาได้ทั่วทั้งพื้นที่ (ungagged catchment) ผลการศึกษาครั้นี้ยังเป็นข้อมูลพื้นฐานเพื่อใช้ประเมินผลกระทบที่อาจเกิดขึ้นจากการเปลี่ยนแปลงทางอุทกวิทยาในอนาคต (future

hydrological change) อันเนื่องมาจากการภัยพิบัติดินคลุ่มนอกจากนี้ องค์กรปกครองส่วนท้องถิ่นและหน่วยงานที่เกี่ยวข้องสามารถใช้แบบจำลอง rainfall-runoff relationship จากการวิจัยครั้งนี้เป็นข้อมูลสำคัญในการค้นหาแนวทางการควบคุมการสูญเสียดินที่เกิดจาก การกร่อนของดิน และการทับถมของตะกอนดิน (soil erosion and sediment control) เช่น การใช้เทคโนโลยี ชีวิศวกรรมปูร์ฟีด้วยหญ้าแฟก (vetiver-based soil bio-engineering technology) หรือการเพิ่มเส้นทางภาพ ของลาดต้นด้วยการปูร์ฟีช (vegetative slope stabilization) เพื่อลดปริมาณน้ำไหลบ่าและลดการ สูญเสียดินในพื้นที่แหล่งต้นน้ำของตำบลแม่พูลต่อไป

อุปกรณ์และวิธีการ การกำหนดพื้นที่ศึกษาและลักษณะของแปลง ทดลอง

การศึกษารังนี้ดำเนินการในพื้นที่ลุ่มน้ำ แม่พร่อง-แม่พูล ตำบลแม่พูล อำเภอลับแล จังหวัด อุตรดิตถ์ ตั้งอยู่ที่ละติจูด $17^{\circ}39'10''$ ถึง $17^{\circ}48'40''$ เหนือ และลองจิจูด $99^{\circ}57'10''$ ถึง $100^{\circ}02'10''$ ตะวันออก มีเนื้อที่ประมาณ 116 ตารางกิโลเมตร ความ สูงของพื้นที่ระหว่าง 80-765 เมตรจากระดับทะเลปานกลาง ความลาดชันของพื้นที่โดยทั่วไปอยู่ในช่วง 40-75 องศา สภาพภูมิอากาศร้อนชื้นแบบมรสุม (tropical monsoon climate: Am) ปริมาณน้ำฝนรายปีเฉลี่ย 1,641.24 มิลลิเมตร อุณหภูมิรายปีเฉลี่ย 27.4 องศาเซลเซียส อัตรา การระเหยเท่ากับ 1,601 มิลลิเมตรต่อปี และความชื้นสัมพัทธ์ ในอากาศโดยเฉลี่ยร้อยละ 73 (ข้อมูลโดยเฉลี่ยปี 2535 ถึง 2559) (Wongmun et al., 2019b)

แปลงศึกษาน้ำไหลบ่าและปริมาณของเชิง แนวลอยทั้งหมดถูกติดตั้งในบริเวณเขม่อนน้ำซึ่งของ พื้นที่ที่มีพื้นที่ 7 บ้านพมานุบ ตำบลแม่พูล ซึ่งบริเวณดังกล่าว เคยเป็นพื้นที่สวนไม้ผลสมัยโบราณที่เกิดดินคลุ่ม ในเดือนพฤษภาคม ปี 2549 โดยได้กำหนดแปลงศึกษา น้ำไหลบ่าและปริมาณของเชิงแนวลอยทั้งหมดออก

เป็น 2 สถานการณ์ ได้แก่ 1) สวนไม้ผลสมัยโบราณ เกษตรภัยใต้สถานการณ์ปกติที่ไม่เกิดดินคลุ่มในปี 2549 และ 2) สวนไม้ผลสมัยโบราณเกษตรภัยหลังจากเกิด ดินคลุ่มมาแล้ว 10 ปี ทั้งนี้ สวนไม้ผลสมัยโบราณที่เคยเกิดดินคลุ่มอยู่ภายใต้สภาพการทดลองแบบ ทุติยภูมิ (secondary succession หรือ allogenic succession) ที่เคยมีสภาพของสังคมพืชของระบบนิเวศ แต่ละประเภทขึ้นปกคลุมอยู่แต่ถูกทำลายจากเหตุการณ์ ดินคลุ่มในปี 2549 โดยปัจจุบันอยู่ในขั้นของการเปลี่ยนแปลง ทางนิเวศวิทยาระยะที่เป็นสังคมในระหว่างการทดลอง ที่มีพืชมีท่อลำเลียง โดยเฉพาะไผ้ยืนต้นเบิกนำชนิดโตเร็วในท้องถิ่น (local fast-growing pioneer trees species) เช่น ตองแตง (*Macaranga denticulata*) ข้าวสารหลวง (*Maesa ramentacea* A. DC.) มะเดื่อ ปล้องหิน (*Ficus semicordata* Buch.-Ham. ex Sm.) และ เต้าหลวง (*Macaranga gigantea* (Rchb. f. & Zoll.) Müll. Arg.) เป็นต้น ขึ้นเบิกนำปกคลุมพื้นที่ภายหลัง จากเหตุการณ์ดินคลุ่มเป็นระยะเวลา 10 ปี (Boonyanuphap et al., 2016; Maosew and Boonyanuphap, 2017)

แปลงศึกษาน้ำไหลบ่าและปริมาณของเชิง แนวลอยทั้งหมดถูกสร้างขึ้นจำนวน 3 แปลงทดลอง สำหรับสวนไม้ผลสมัยโบราณแต่ละสถานการณ์ การกำหนดขนาดและรูปร่างแปลงทดลองพิจารณาตาม หลักการของ Chankaew (1996) ซึ่งได้กล่าวว่า การ สร้างแปลงทดลองเพื่อเก็บตัวกอนดินโดยทั่วไปใช้ขนาด ของแปลงทดลองในช่วงประมาณ 2×10 ถึง 4×10 เมตร ซึ่งไม่ควรใช้แปลงที่มีขนาดเล็กกว่าหรือใหญ่กว่านี้ เนื่องจาก การศึกษาที่มีขนาดแปลงทดลองที่ใหญ่จะทำให้เกิดข้อ ผิดพลาดจากความไม่สม่ำเสมอของลักษณะพื้นที่ได้มาก ขึ้น อีกทั้งถ้ามีขนาดแปลงทดลองที่เล็กจะทำให้ได้ตัวอย่าง ที่ไม่เหมาะสมเกินไป อย่างไรก็ตาม แปลงทดลองทั้ง 2 สถานการณ์มีขนาดที่แตกต่างกัน เนื่องจากแปลงศึกษา ของสวนไม้ผลสมัยโบราณมีระยะปักโกรนไม้ผล เศรษฐกิจหลากหลายชนิดที่ไม่สม่ำเสมอ กันในแต่ละพื้นที่ โดยไม้ผลเศรษฐกิจหลักที่ปักโกรนได้แก่ ทุเรียน (*Durio zibethinus* Murray.) และลองกอง (*Lansium*

domesticum Corr.) ขณะที่บริเวณที่เกิดดินคลุ่มส่วนใหญ่มีลักษณะเป็นร่องตามแนวยาวและพื้นที่ดินคลุ่มมีความกว้างของแนวดินคลุ่มน้อยกว่า 40 เมตร ประกอบกับบริเวณที่เกิดดินคลุ่มแต่ละแห่งมีความรุนแรงแตกต่างกัน จึงส่งผลให้ระดับความลาดชัน (slope degree) และความโค้งของผิวน้ำภูมิประเทศ (plan curvature) มีลักษณะไม่สม่ำเสมอ กันทั่วทั้งพื้นที่ ซึ่งทำให้เป็นข้อจำกัดของการออกแบบขนาดความกว้างของแปลงศึกษา ดังนั้น จากบริบทของสภาพจริงในพื้นที่ศึกษา ผู้จัดได้กำหนดขนาดแปลงศึกษาของระบบนิเวศไม้ส่วนผสมแบบวนเกษตรในสถานการณ์ปกติมีขนาด 16x4 เมตร และ 12x4 เมตร ขณะที่แปลงศึกษาของพื้นที่ที่เคยเกิดดิน

คลุ่มมีขนาด 6x4 เมตร (Table 1) อย่างไรก็ตาม Tangtham (1984) ได้กล่าวว่า ความลาดชัน ความยาวแนวลาดเท และรูปร่างของความลาดเท เป็นปัจจัยที่สำคัญที่สุดในการชะล้างพังทลายของดิน เมื่อความลาดเทมากขึ้น อัตราการชะล้างพังทลายของดินจะมีมากขึ้น เนื่องจากความลาดชันมากทำให้น้ำไหลบ่าหน้าดินเกิดได้มาก แต่เมื่อฝนตกแผ่เวลานานน้ำไหลบ่าหน้าดินมีอัตราคงที่จะมีอิทธิพลมากถ้าฝนตกในช่วงระยะเวลาสั้นๆ แต่รุนแรง ซึ่งการที่น้ำไหลบ่าหน้าดินอย่างรวดเร็วนั้นเป็น เพราะขณะที่ฝนตกดินกักเก็บน้ำได้น้อย ซึ่งทำให้เกิดการชะล้างพังทลายของดินได้อย่างรวดเร็ว เช่นกันโดยจะพัดพาดินให้หลงสูญที่ต่ำได้มาก

Table 1 General characteristics, structure of plots, and soil loss assessment.

Plots code	Ecosystem	Average slope (degree)		Aspect	Plot size (m ²)	No. of dominant tree (DBH>4.5 cm)				
		D.zib	L.dom			M.den	M.ram	F.sem		
FN01	FN	27	N22	64	1	2	-	-	-	-
FN02	FN	22.33	N21	48	2	1	-	-	-	-
FN03	FN	34.66	N21	48	1	2	-	-	-	-
FS01	FS	32.33	N7	24	-	-	1	3	-	-
FS02	FS	24	N7	24	-	-	3	1	1	
FS03	FS	34.66	N7	24	-	-	2	1	1	

Remarks: FN: Study plot of mixed fruit tree-based agroforestry, FS: Study plot of mixed fruit tree-based agroforestry under landslide conditions; D.zib : *Durio zibethinus* Murray.; L.dom : *Lansium domesticum* Corr.; M.den : *Macaranga denticulata*; M.ram : *Maesa ramentacea* A. DC.; F.sem : *Ficus semicordata* Buch.-Ham. ex Sm.

การเก็บรวบรวมข้อมูล

เก็บรวบรวมปริมาณน้ำฝน ปริมาณน้ำไหล哺หน้าดิน และปริมาณของแข็งแขวนลอยทั้งหมด ระหว่างฤดูฝนของปี 2559 เป็นเวลา 10 เดือน ตั้งแต่เดือนมกราคมถึงเดือนตุลาคม 2559

1. ปริมาณน้ำฝนทั้งหมด (gross rainfall: GR) ตรวจด้วยเครื่องวัดปริมาณน้ำฝน Tipping Bucket Rain Collector (Code 3665R) พร้อมกับเสาติดตั้งเครื่องวัดปริมาณน้ำฝน (POLE0001) สูงจากพื้นดิน

ประมาณ 1.20 เมตร โดยติดตั้งในที่โล่งใกล้กับแปลงทดลอง เพื่อป้องกันไม่ให้เกิดการบดบังจากเรือนยอดไม้ โดยรอบปากของเครื่อง จะต้องทำมุกกับเรือนยอดไม้โดยรอบไม่เกิน 45 องศา จากนั้นเชื่อมต่อการส่งสัญญาณข้อมูลปริมาณน้ำฝนไปยังเครื่องบันทึกข้อมูลอัตโนมัติ (data logger) รุ่น WatchDog 1400 Weather station (3685WD1) ทั้งนี้ ข้อมูลปริมาณน้ำฝนที่ใช้ในการศึกษาครั้งนี้ เป็นทั้งข้อมูลปริมาณน้ำฝนสะสม (accumulated rainfall event) และข้อมูลปริมาณน้ำฝนของแต่ละ

เหตุการณ์ฝนตก (individual rainfall event data) ซึ่งขึ้นอยู่กับชุดข้อมูลปริมาณน้ำฝนผ่านชั้นเรือนยอดและปริมาณน้ำไหลตามลำดันที่เก็บได้จริงในภาคสนามของเหตุการณ์ฝนตกแต่ละครั้ง

2. การวัดปริมาณน้ำไหลบ่าหน้าดิน (runoff, Rf) จากแปลงศึกษาปริมาณน้ำไหลบ่า โดยที่ด้านล่างของแปลงศึกษาติดตั้งท่อ polyvinyl chloride (PVC) ขนาด 3 นิ้ว เข้ากับร่างรับน้ำไหลบ่า เพื่อร่วบรวมน้ำไหลบ่าเข้าสู่ถังรองรับน้ำขนาด 100 ลิตร จากนั้นบันทึกข้อมูลปริมาณน้ำไหลบ่าหน้าดิน และเก็บตัวอย่างของสารละลายน้ำไหลบ่าและตะกอนดินที่แขวนลอย (ภายหลังเหตุการณ์ฝนตกกระดับรายวัน)

3. คำนวณหาปริมาณของแข็งแขวนลอยในน้ำไหลบ่า (resuspend solids: SS) ของฝนตกแต่ละเหตุการณ์ระดับรายวัน โดยนำตัวอย่างของน้ำไหลบ้ากรองผ่านแผ่นกรองไยแก้ว (glass-fiber filter) เบอร์ 3 เส้นผ่านศูนย์กลาง 110 มิลลิเมตร นำตะกอนเปียกที่ได้จากการกรองไปอบแห้งที่อุณหภูมิ 103–105 องศาเซลเซียส เป็นเวลา 24 ชั่วโมง จากนั้นซึ่งน้ำหนักของตะกอนแห้งแล้วนำค่ามาเทียบเป็นน้ำหนักต่อหน่วยพื้นที่ (Keawpromta, 2003)

4. คำนวณหาปริมาณตะกอนหนัก (settleable solids: Set.S) ซึ่งเป็นของแข็งที่ค้างอยู่ในร่างรับน้ำไหลบ่าในแต่ละเหตุการณ์ฝนตกกระดับรายวัน โดยการเก็บรวบรวมตะกอนหนักในแต่ละแปลงศึกษา ในช่วงต้นฤดูฝนและปลายฤดูฝน รวมเป็น 2 ครั้ง ตลอดระยะเวลาของการศึกษา จากนั้นนำตะกอนหนักมาดำเนินการเช่นเดียวกับข้อ 3

5. การประมาณปริมาณของแข็งแขวนลอยทั้งหมด (total suspended solid: TSS) คือ ปริมาณของแข็งแขวนลอยในน้ำไหลบ่าจากการกร่อน ซึ่งคำนวณจากผลรวมของปริมาณของแข็งแขวนลอยในสารละลายน้ำ (SS) กับปริมาณตะกอนหนัก (Set.S) จากนั้นคำนวณน้ำหนักของแข็งแขวนลอยทั้งหมดต่อเนื้อที่ (หน่วยเป็นตัน/ไร่) สำหรับสวนไม้ผลสมแบบเกษตรแต่ละสถานการณ์

ศึกษาความสัมพันธ์ระหว่างปริมาณน้ำฝนและปริมาณน้ำไหลบ่าหน้าดิน

วิเคราะห์ความสัมพันธ์ระหว่างปริมาณน้ำฝนและปริมาณน้ำไหลบ่าหน้าดินด้วยการวิเคราะห์สัมประสิทธิ์สหสัมพันธ์แบบเพียร์สัน โดยใช้โปรแกรม IBM SPSS Statistics (IBM Corp, 2016)

ศึกษาอิทธิพลของปริมาณน้ำฝนต่อปริมาณน้ำไหลบ่าหน้าดิน

1. ศึกษาอิทธิพลของปริมาณน้ำฝนต่อปริมาณน้ำไหลบ่าหน้าดิน จากข้อมูลปริมาณน้ำฝนและปริมาณน้ำไหลบ่าของแต่ละเหตุการณ์ที่ฝนตก โดยการวิเคราะห์การถดถอยอย่างง่าย ดังแสดงในสมการ (1) ซึ่งกำหนดให้ปริมาณน้ำไหลบ่าหน้าดินเป็นตัวแปรตามและปริมาณน้ำฝนเป็นตัวแปรอิสระ พัฒนาทั้งคำนวณความคลาดเคลื่อนมาตรฐานในการพยากรณ์ (standard error of estimate: SEE)

$$\text{Runoff} = a + (b \text{ Gross Rainfall}) \dots\dots (1)$$

โดยที่

$$\text{Runoff} = \text{ปริมาณน้ำไหลบ่าหน้าดินในแต่ละเหตุการณ์ที่ฝนตก (มิลลิเมตร)}$$

$$\text{Gross Rainfall} = \text{ปริมาณน้ำฝนแต่ละเหตุการณ์ (มิลลิเมตร)}$$

$$a = \text{ค่าคงที่ (constant) เป็นค่าที่ตัดกับแกน Y (Y-intercept)}$$

$$b = \text{ความชัน (slope) ของเส้นตรง หรือ สัมประสิทธิ์การถดถอย (regression coefficient) ของตัวแปร Rainfall}$$

2. คำนวณหาปริมาณน้ำไหลบ่าหน้าดินรายปีจากข้อมูลปริมาณน้ำฝนรายวันตลอดปี 2559 (ข้อมูลจากเครือข่ายเฝ้าระวังแจ้งเตือนภัยดินถล่ม ตำบลแม่เพล) โดยใช้สมการ (1) หาค่าปริมาณน้ำไหลบ่าของแต่ละเหตุการณ์ที่ฝนตกรายวันของปี 2559 จากนั้นคำนวณปริมาณน้ำไหลบ่าหน้าดินทั้งหมดที่เกิดขึ้นในรอบปี 2559

ศึกษาความสัมพันธ์ระหว่างปริมาณน้ำไหลบ่า
หน้าดินและปริมาณของแข็งแขวนลอย

การศึกษาความสัมพันธ์ระหว่างปริมาณน้ำในแหล่งน้ำที่ต่างกันและปริมาณของแข็งในลักษณะต่างๆ สถานการณ์ปัจจุบันและสถานการณ์ที่คาดเดินถัดไป ด้วยการวิเคราะห์สัมประสิทธิ์สหสัมพันธ์แบบเพียร์สันโดยใช้โปรแกรม IBM SPSS Statistics (IBM Corp, 2016)

คึกคักอิทธิพลของปริมาณน้ำในแหล่งน้ำดินต่อปริมาณของแม่น้ำแควน้อย

1. ศึกษาอิทธิพลของปริมาณน้ำใหลบ่าหน้าดินต่อปริมาณของแข็งแχวนลอย ด้วยการวิเคราะห์การทดลองเชิงเส้นอย่างง่าย ดังสมการ (2) โดยใช้ข้อมูลน้ำใหลบ่าหน้าดินและปริมาณของแข็งแχวนลอยในแต่ละเหตุการณ์ที่ได้ทำการเก็บข้อมูลภาคสนาม การศึกษาครั้งนี้ได้กำหนดให้ปริมาณของแข็งแχวนลอยเป็นตัวแปรตาม และปริมาณน้ำใหลบ่าหน้าดินเป็นตัวแปรอิสระ

$$SS = a + (b \text{ Runoff}) \quad \dots \dots \dots (2)$$

โดยที่

SS = ปริมาณของแข็งเข่านลอยในแต่ละ
เหตุการณ์ที่น้ำไหล哺าหน้าดิน (กรัม)
Runoff = น้ำไหล哺าหน้าดินแต่ละเหตุการณ์
(มิลลิเมตร)

a = ค่าจุดตัดแกน Y (Y-intercept)
 b = ค่าความชัน (slope) ของเส้นตรง
 หรือ ค่าสัมประสิทธิ์การทดแทนของ
 ตัวแปรอิสระ

2. คำนวณหาปริมาณของแข็งแχวนลอยรายปี จากน้ำให้ป่าหน้าดินของแต่ละเหตุการณ์รายปี โดยใช้สมการ (2) หาค่าปริมาณของแข็งแχวนลอยของแต่ละเหตุการณ์ที่น้ำให้ป่าหน้าดินรายวันของปี 2559 จากนั้นคำนวณปริมาณของแข็งแχวนลอยทั้งหมดที่เกิดขึ้นในรอบปี 2559

ศึกษาปริมาณของแข็งแหวนโลยที่สูญเสียทั้งหมด

1. ศึกษาอิทธิพลของปริมาณน้ำฝนต่อปริมาณของแข็งแขวนลอยในสารละลายน้ำ ด้วยการวิเคราะห์การ

ผลด้วยเชิงเส้นอย่างง่าย โดยใช้ข้อมูลปริมาณน้ำฝนและปริมาณของแข็งบนลอยในแต่ละเหตุการณ์ ดังสมการ
(3) กำหนดให้ปริมาณของแข็งบนลอยเป็นตัวแปรตาม และปริมาณน้ำฝนเป็นตัวแปรอิสระ

$$SS = a + (b \text{ Gross Rainfall}) \dots\dots\dots(3)$$

ໄດຍທີ

SS = ปริมาณของแข็งแขวนลอยในน้ำให้เหลวคงแต่ละเหตุการณ์ที่ฝนตก (กรัม)

Gross Rainfall = ปริมาณน้ำฝนแต่ละเหตุการณ์
(มิลลิเมตร)

- a = ค่าจุดตัดแกน Y (Y-intercept)
- b = ค่าความชัน (slope) ของเส้นตรง
หรือ ค่าสัมประสิทธิ์การถดถอย[†]
(regression coefficient) ของตัวแปรอิสระ

2. คำนวณหาของแข็งแขวนลอยรายปี จากปริมาณน้ำฝนรายวันตลอดปี โดยใช้สมการ (3) หาค่าปริมาณน้ำใหลบำห้นาดินของแต่ละเหตุการณ์ที่ฝนตกรายวันของปี 2559 จากนั้นคำนวณปริมาณของแข็งแขวนลอยทั้งหมดที่เกิดขึ้นในรอบปี 2559

3. การหาปริมาณของแข็งเขawanloyทั้งหมด
คำนวณโดยใช้สูตร

$$TSS = SS + Set.S$$

โดยที่

TSS (total suspended solid) คือ ปริมาณของแข็งแขวนลอยทั้งหมด (กิโลกรัม/ลิตร/ปี)

SS (suspend solids) គឺ ជ្រើសរើសទៅបាន

Set.S (settleable solids) គឺ ប្រិមាណ
ពេករាង (កូលូរ៉ាម/តែង/ថ្ងៃ)

ผลและวิจารณ์ผล

ปริมาณน้ำฝนทั้งหมด (gross rainfall) ใน การศึกษาน้ำส่วนหนึ่งพื้นดิน

การศึกษาความสัมพันธ์ระหว่างปริมาณน้ำฝนทั้งหมดและน้ำไหลบ่าหน้าดินของระบบนิเวศสวนไม่ผล

ผสมแบบวนเกษตรรายได้สถานการณ์ปกติและพื้นที่ที่เคยเกิดดินถล่ม ได้ใช้ข้อมูลการเก็บน้ำในส่วนเหนือพื้นดินที่เป็นลักษณะเหตุการณ์ของฝนตกรายวัน (daily rainfall event) จำนวน 47 เหตุการณ์ ขณะที่การเก็บข้อมูลน้ำในส่วนเหนือพื้นดินที่เป็นลักษณะเหตุการณ์ของฝนตกสะสมรายวัน (accumulative rainfall event)

มีจำนวน 23 เหตุการณ์ รวมทั้งหมด 70 เหตุการณ์ ซึ่งอยู่ระหว่างวันที่ 14 พฤศจิกายน 2558 ถึง วันที่ 12 พฤษภาคม 2559 (Figure 1) เหตุการณ์ฝนตกรายวัน และฝนตกสะสมทั้ง 70 เหตุการณ์ มีปริมาณน้ำฝนทั้งหมด รวม 2,048.70 มิลลิเมตร

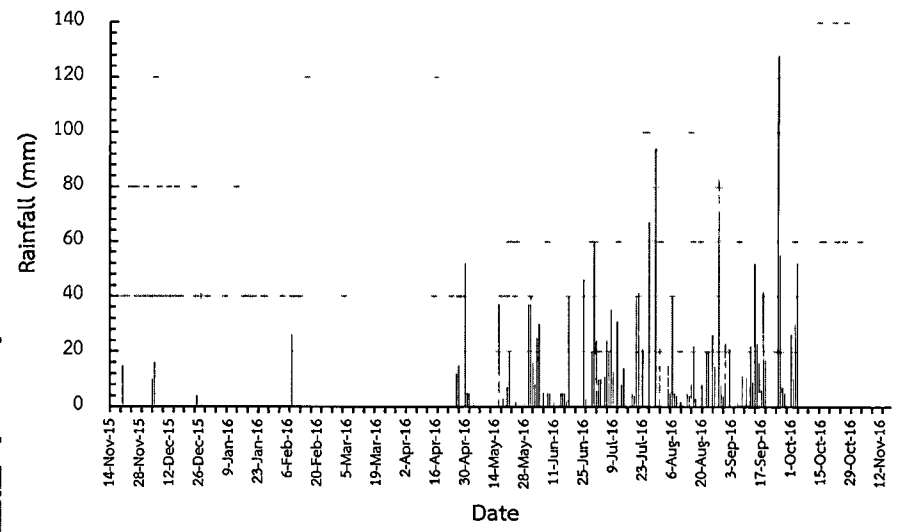


Figure 1 Rainfall data for 47 daily rainfall events, during a period between November 2015 and November 2016.

ความสัมพันธ์ระหว่างปริมาณน้ำฝนและปริมาณน้ำไหลบ่าหน้าดิน

จำนวนการเก็บข้อมูลน้ำไหลบ่าของแต่ละแปลงศึกษาขึ้นอยู่กับช่วงเวลาของ การติดตั้งอุปกรณ์วัดปริมาณน้ำไหลบ่า โดยแต่ละแปลงติดตั้งอุปกรณ์เสร็จไม่พร้อมกัน การศึกษาครั้งนี้ได้เก็บรวบรวมข้อมูลน้ำไหลบ่าหน้าดิน จำนวน 53-62 ครั้ง จากทั้งหมด 70 เหตุการณ์ ของทั้งเหตุการณ์ฝนตกรายวันและเหตุการณ์ฝนตกสะสม รายวัน ค่าเฉลี่ยของน้ำไหลบ่าหน้าดินของแปลงศึกษา ในสถานการณ์ปกติและพื้นที่ที่เคยเกิดดินถล่ม อยู่ในช่วง

ร้อยละ 0.05-0.19 และร้อยละ 0.05-0.41 ของปริมาณน้ำฝนทั้งหมด ตามลำดับ ทั้งนี้ น้ำไหลบ่าหน้าดินมีความสัมพันธ์เชิงเส้นทางบวกอย่างสูงกับปริมาณน้ำฝนที่ตกในแต่ละเหตุการณ์ ทั้งในพื้นที่สวนไม้ผลผสมแบบวนเกษตรสถานการณ์ปกติ ($0.883 \leq r \leq 0.945$; $p \leq 0.01$) และพื้นที่ที่เคยเกิดดินถล่ม ($0.821 \leq r \leq 0.901$; $p \leq 0.01$) ดังแสดงใน Table 2 ค่าเฉลี่ยของปริมาณน้ำไหลบ่าหน้าดินภายในรอบปี 2559 ของแปลงศึกษาในสถานการณ์ปกติเท่ากับ 7.99 มิลลิเมตร (S.D. 2.48) ขณะที่แปลงศึกษาที่เคยเกิดดินถล่มมีปริมาณน้ำไหลบ่าหน้าดินเฉลี่ย 22.01 (S.D. 7.83)

Table 2 Runoff characteristics related to rainfall amount in the mixed fruit tree-based agroforestry and mix fruit tree-based agroforestry under landslide condition.

Plots code	Number of runoff data collected	Total rainfall (mm)	Total runoff (mm)	Pearson correlation (r)	Mean of percent runoff of rainfall (%)	S.D. of percent runoff of rainfall (%)
FN01RF	59	1,692.660	8.750	0.883**	0.12	0.26
FN02RF	58	1,726.260	16.279	0.945**	0.19	0.51
FN03RF	62	1,738.390	5.2132	0.934**	0.05	0.12
FS01RF	53	1,488.440	5.6965	0.901**	0.05	0.12
FS02RF	60	1,624.790	31.030	0.821**	0.41	0.78
FS03RF	58	1,356.690	13.807	0.822**	0.16	0.31

Remarks: FN: Study plot of runoff of mixed fruit tree-based agroforestry, FS: Study plot of runoff of mixed fruit tree-based agroforestry under landslide condition; **Correlation is significant at the 0.01 level

การศึกษาอิทธิพลของปริมาณน้ำฝนต่อปริมาณน้ำไหลบ่าหน้าดิน

การศึกษาอิทธิพลของปริมาณน้ำฝนต่อปริมาณน้ำไหลบ่าหน้าดินในพื้นที่ทำการศึกษาสำหรับสถานการณ์ปกติและสถานการณ์ที่เคยเกิดขึ้นแล้วมีปริมาณน้ำฝนและปริมาณน้ำไหลบ่าหน้าดินในแต่ละเหตุการณ์ของฝนตกรายวัน (daily rainfall event) จำนวน 47 เหตุการณ์ ระหว่างวันที่ 14 พฤศจิกายน 2558 ถึง วันที่ 12 พฤศจิกายน 2559 จากผลการวิเคราะห์การถดถอยเชิงเส้นอย่างง่าย (simple linear regression analysis) พบว่า ปริมาณน้ำฝนส่งผลต่อปริมาณน้ำไหลบ่าหน้าดินของระบบนิเวศทั้งสองประเภทอย่างมีนัยสำคัญทางสถิติ ($p \leq 0.05$) โดยมีค่าสัมประสิทธิ์การตัดสินใจหรือสัมประสิทธิ์การทำนาย (coefficient of determination: R^2)

ระหว่าง 0.672 และ 0.894 ทั้งนี้ ปริมาณน้ำฝนมีแนวโน้มที่มีอิทธิพลทางบวกต่อปริมาณน้ำไหลบ่าหน้าดินของแปลงศึกษาที่ไม่เกิดดินคล่ม ($0.780 \leq R^2 \leq 0.894$) สูงกว่าแปลงศึกษาที่เคยเกิดดินคล่มเล็กน้อย ($0.672 \leq R^2 \leq 0.815$) อย่างไรก็ตาม ปริมาณน้ำไหลบ่าหน้าดินยังได้รับอิทธิพลหรือเป็นผลจากตัวแปรตัวอื่นที่ไม่ใช่ปริมาณน้ำฝนที่ตกในแต่ละเหตุการณ์ เมื่อทำการเบรียบเทียบค่าสัมประสิทธิ์การถดถอย (slope, β) โดยค่า slope เป็นค่าที่แสดงประมาณการเปลี่ยนแปลงของน้ำไหลบ่าหน้าดิน เมื่อปริมาณน้ำฝนทั้งหมดเปลี่ยนไป พบว่า ค่า slope ของแปลงศึกษาทั้งหมด 6 แปลง มีค่าเป็นบวกทั้งหมด โดยปริมาณน้ำไหลบ่าหน้าดินมีการเปลี่ยนแปลงไปในทิศทางเดียวกันกับปริมาณน้ำฝนในแต่ละเหตุการณ์ ดังแสดงใน Figure 2

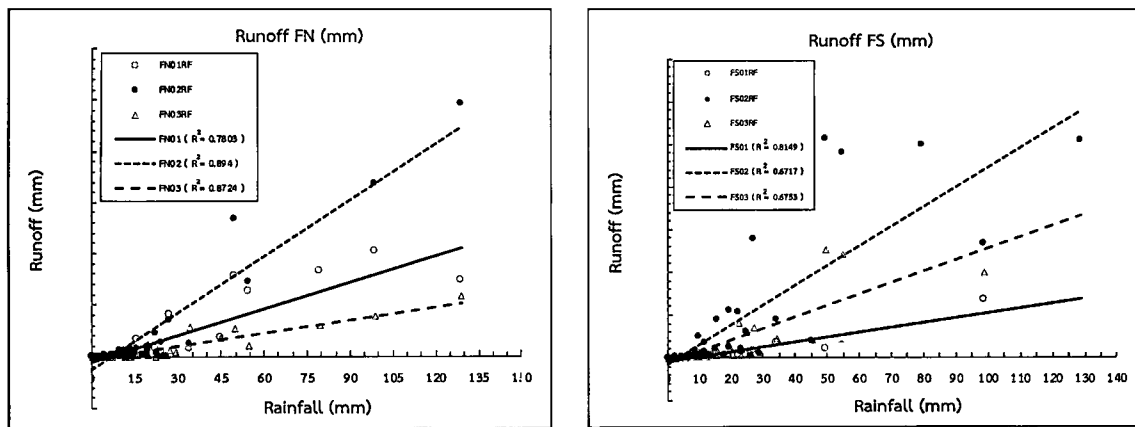


Figure 2 Relationship between rainfall and runoff in the mixed fruit tree-based agroforestry (FN) and mixed fruit tree-based agroforestry under landslide conditions (FS) calculated at plot scale.

Figure 3 แสดงความสัมพันธ์ระหว่างค่าเฉลี่ยของปริมาณน้ำไหลบ่าหน้าดินกับปริมาณน้ำฝนในแต่ละเหตุการณ์ที่ฝนตกของแปลงศึกษาในสถานการณ์ปกติ และแปลงศึกษาที่เคยเกิดดินถล่ม ($N=3$) โดยมีค่าสัมประสิทธิ์การตัดสินใจเท่ากับ 0.879 และ 0.790 ตามลำดับ ($p \leq 0.05$) ขณะที่ ค่า slope ของสมการทดถอยของแปลงศึกษาที่ไม่เกิดดินถล่ม มีค่าน้อยกว่าแปลงศึกษาที่เกิดดินถล่ม โดยมีค่า slope เท่ากับ 0.0097 (ซึ่งหมายถึงปริมาณน้ำไหลบ่าหน้าดินของแปลงศึกษาที่ไม่เกิดดินถล่มจะเปลี่ยนแปลงไป 0.0097 มิลลิเมตร ของทุกๆ ครั้งที่ปริมาณน้ำฝนเปลี่ยนไป 1 มิลลิเมตร) นอกจากนี้ เมื่อคำนวณกลับเพื่อหาค่าเทรสโอลด์ (threshold) ของน้ำไหลบ่าหน้าดิน หรือ เป็นค่าปริมาณน้ำฝนต่ำสุดที่เริ่ม

ทำให้เกิดน้ำไหลบ่าหน้าดินของแปลงศึกษาที่ไม่เกิดดินถล่ม พบว่า มีค่า 7.5773 มิลลิเมตร ขณะที่ค่าเทรสโอลด์ของแปลงศึกษาที่เกิดดินถล่มมีค่า 6.838 มิลลิเมตร สำหรับค่าคงที่ (intercept) หรือ จุดตัดแกนตั้ง (Y-intercept) ของสมการทดถอยที่แสดงความสัมพันธ์ระหว่างปริมาณน้ำฝนกับปริมาณน้ำไหลบ่าหน้าดินแสดงค่าติดลบ ซึ่งสอดคล้องกับค่าเทรสโอลด์ของน้ำฝนผ่านเรื่องยอดของปริมาณน้ำไหลบ่าหน้าดินทั้งในแปลงศึกษาที่ไม่เกิดดินถล่มและแปลงที่เกิดดินถล่ม ทั้งนี้ ค่าพารามิเตอร์ของแบบจำลองสมการทดถอยเชิงเส้นอย่างง่ายที่ใช้อิบาย อิทธิพลของปริมาณน้ำฝนต่อปริมาณไหลบ่าหน้าดินของแต่ละเหตุการณ์ที่ฝนตกแสดงใน Table 3

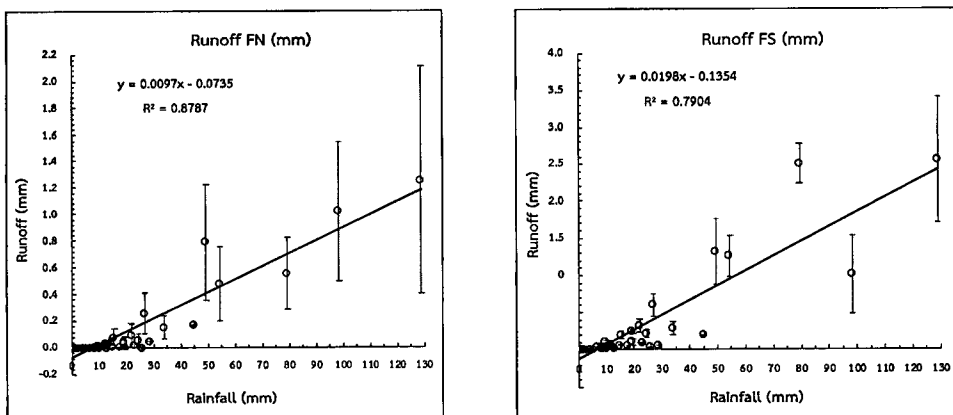


Figure 3 Relationship between rainfall and average value of runoff in the mixed fruit tree-based agroforestry (FN; $N=3$) and mixed fruit tree-based agroforestry under landslide conditions (FS; $N=3$) calculated for each ecosystem type.

Table 3 Regression coefficients used to estimate the amount of runoff in the mixed fruit tree-based agroforestry system.

Landslide condition	Intercept	Slope	Adjusted R square	Standard error of estimate	F	d.f.	p-value
FN	-0.0735	0.0097	0.876	0.095	326.63	46	<0.001
FS	-0.1354	0.0198	0.785	0.280	147.11	40	<0.001

Remarks: FN: Study plot of runoff of mixed fruit tree-based agroforestry, FS: Study plot of runoff of mixed fruit tree-based agroforestry under landslide conditions

การศึกษาความสัมพันธ์ระหว่างปริมาณน้ำไหลบ่าหน้าดินและปริมาณของแข็งแخวนลอย

จากการเก็บข้อมูลปริมาณของแข็งแخวนลอยจากเหตุการณ์น้ำไหลบ่าหน้าดินจำนวน 5-10 ครั้ง ผลการศึกษาพบว่า ค่าเฉลี่ยของปริมาณของแข็งแخวนลอยของแปลงศึกษาในสถานการณ์ปกติและพื้นที่ที่เคยเกิด

ต้นคล่อม อยู่ในช่วงร้อยละ 1.718-4.126 และร้อยละ 1.573-6.199 ของปริมาณน้ำไหลบ่าหน้าดิน ตามลำดับแสดงให้เห็นว่า ในพื้นที่ที่ไม่เคยเกิดดินคล่อมมีปริมาณของแข็งแขวนลอยที่มากับน้ำไหลบ่าหน้าดินในปริมาณที่ต่ำกว่าพื้นที่ที่เคยเกิดดินคล่อม ดังแสดงรายละเอียดใน Table 4

Table 4 The characteristics of runoff as a function of suspended solid in mixed fruit tree-based agroforestry and mixed fruit tree-based agroforestry under landslide conditions.

Plots code	Number of suspended solid (SS) data collected	Total runoff (mm)	Total suspended solid (g)	Pearson correlation (r)	Mean of percent (SS) (%)	S.D. of percent (SS) (%)
FN01RF	5	0.613	5.1543	0.942**	1.718	2.085
FN02RF	9	0.861	11.314	0.995**	2.514	3.854
FN03RF	10	0.888	15.20	0.882**	4.126	7.362
FS01RF	10	0.791	6.2913	0.991**	1.573	1.948
FS02RF	10	2.475	34.093	0.960**	6.199	9.867
FS03RF	10	1.807	27.016	0.963**	4.912	7.6299

Remarks : FN: Study plot of mix fruit tree-based agroforestry, FS: Study plot of mix fruit tree-based agroforestry under landslide conditions; **Correlation is significant at a 0.01 significance level

การศึกษาอิทธิพลของปริมาณน้ำไหลบ่าหน้าดินต่อปริมาณของแข็งแχวนลอย

ในกรณีความสัมพันธ์ระหว่างปริมาณน้ำไหลบ่าหน้าดินและปริมาณของแข็งแχวนลอย พบว่า แปลงศึกษา FN02 แสดงค่า R^2 สูงที่สุด ($R^2 = 0.9755$) ขณะที่แปลง FS03 มีค่า R^2 ต่ำสุด ($R^2 = 0.5343$) แสดงให้เห็นว่า ในแต่ละเหตุการณ์ที่เกิดการสูญเสียตะกอนแข็งแχวนลอย จากน้ำไหลบ่าหน้าดินนั้น ยังได้รับอิทธิพลหรือเป็นผลจากตัวแปรตัวอื่นที่ไม่ใช่ปริมาณน้ำไหลบ่าในแต่ละเหตุการณ์ สำหรับค่าสัมประสิทธิ์การถดถอย (slope) ของแปลงศึกษาทั้งหมด 6 แปลง มีค่าเป็นบวกทั้งหมด โดยปริมาณของแข็งแχวนลอยมีการเปลี่ยนแปลงไปในทิศทางเดียวกันกับปริมาณน้ำไหลบ่าหน้าดินในแต่ละเหตุการณ์ของพื้นที่ทำการศึกษาส่วนไม้ผลผสมแบบวนเกษตร ในสถานการณ์ปกติและสถานการณ์ที่เคยเกิดดินคลุ่ม (Figure 4) ปริมาณน้ำไหลบ่าหน้าดินของแปลงศึกษาในสถานการณ์ปกติมีแนวโน้มต่ำกว่าแปลงศึกษาที่เคยเกิดดินคลุ่ม จึงส่งผลให้มีปริมาณของแข็งแχวนลอย

น้อยกว่าแปลงศึกษาสถานการณ์ที่เกิดดินคลุ่ม ทั้งนี้ ความสัมพันธ์ระหว่างค่าเฉลี่ยของปริมาณของแข็งแχวนลอย กับค่าเฉลี่ยของปริมาณน้ำไหลบ่าในแต่ละเหตุการณ์ที่ ผ่านทดสอบของแปลงศึกษาในสถานการณ์ปกติ มีค่าสัมประสิทธิ์ การตัดสินใจเท่ากับ 0.3698 ซึ่งชี้ให้เห็นว่า ปริมาณน้ำไหลบ่าหน้าดินมีอิทธิพลต่อปริมาณของแข็งแχวนลอยไม่สูงมากนัก ขณะที่แปลงศึกษาที่เคยเกิดดินคลุ่มค่าสัมประสิทธิ์ การตัดสินใจเท่ากับ 0.8503 ($p \leq 0.05$) นอกจากนี้ ค่าเฉลี่ยของปริมาณของแข็งแχวนลอยของแปลงศึกษาในสถานการณ์ปกติมีส่วนเบียงเบนมาตรฐานค่อนข้างสูง ซึ่งจากการสังเกตระหว่างเก็บข้อมูลในภาคสนาม พบว่า การกำจัดวัชพืชและพืชปักคลุมดินด้วยการใช้เครื่องตัดหญ้าของเกษตรกรเจ้าของสวน ส่งผลโดยตรงต่อการเพิ่มขึ้นของปริมาณตะกอนดิน เมื่อเปรียบเทียบกับแปลงศึกษาที่ยังไม่ได้กำจัดวัชพืช (Figure 5) สำหรับค่าพารามิเตอร์ของแบบจำลองสมการถดถอยเชิงเส้นอย่างง่ายที่ใช้อธิบายอิทธิพลของปริมาณน้ำไหลบ่าหน้าดินที่มีต่อปริมาณของแข็งแχวนลอยแสดงใน Table 5

Table 5 Regression coefficients used to estimates the amount of total suspended solid for the mixed fruit tree-based agroforestry system.

Landslide condition	Intercept	Slope	Adjusted R square	Standard error of estimate	F	d.f.	p-value
FN	0.7335	16.877	0.291	2.177	326.63	9	0.062
FS	-1.1334	9.0886	0.831	0.737	45.35	9	<0.001

Remarks : FN: Study plot of runoff of mixed fruit tree-based agroforestry, FS: Study plot of runoff of mixed fruit tree-based agroforestry under landslide conditions

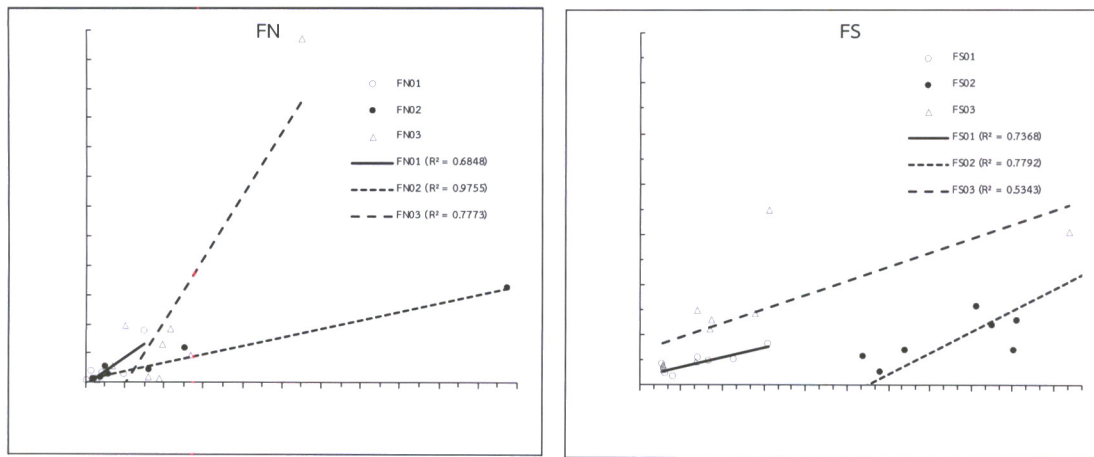


Figure 4 Relationship between runoff and suspended solid in the mixed fruit tree-based agroforestry (FN) and mixed fruit tree-based agroforestry under landslide conditions (FS) calculated at plot scale.

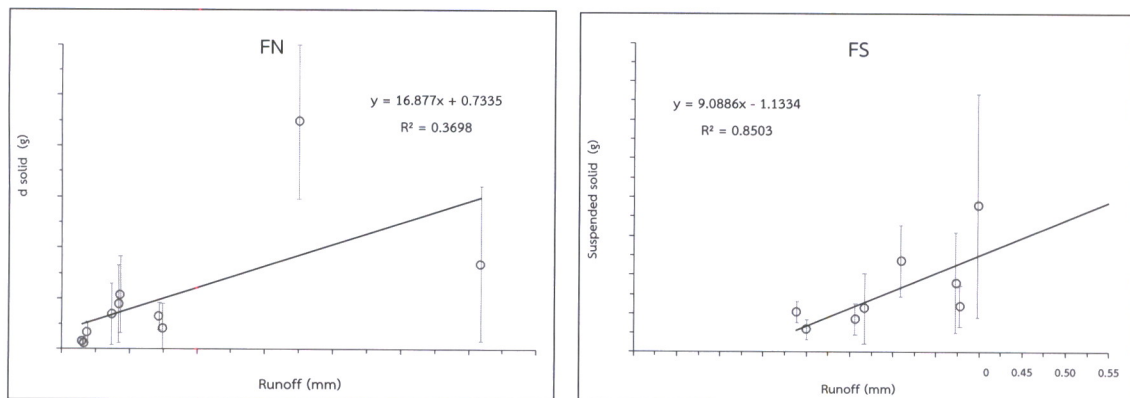


Figure 5 Relationship between the average values of runoff and suspended solid in the mixed fruit tree-based agroforestry (FN) and mixed fruit tree-based agroforestry under landslide conditions (FS) calculated for each ecosystem type.

เปรียบเทียบปริมาณของแข็งแخวนลอยระหว่างระบบวนเกษตรแบบสวนไม้ผลผสมและพื้นที่เคยเกิดดินถล่ม

จากการศึกษาการประเมินการสูญเสียดินพบว่า แปลงศึกษา FS03 มีปริมาณการสูญเสียดินมีค่าสูงสุดเท่ากับ 171.64 กิโลกรัม/ไร่/ปี รองลงมาได้แก่ แปลงศึกษา FS02 มีปริมาณการสูญเสียดิน 136.29 กิโลกรัม/ไร่/ปี (0.85 ตัน/ヘกเตอร์/ปี) ขณะที่แปลงศึกษา FN02 มีปริมาณการสูญเสียดินต่ำสุด เท่ากับ 42.52 กิโลกรัม/

ไร่/ปี (0.27 ตัน/เฮกเตอร์/ปี) เมื่อเปรียบเทียบปริมาณของแข็งแขวนลอยภายในรอบปี 2559 พบว่า แปลงศึกษาที่เคยเกิดดินถล่มมีแนวโน้มของการการสูญเสียดินมากกว่าแปลงศึกษาที่ไม่เกิดดินถล่ม โดยพื้นที่เคยเกิดดินถล่มมีค่าเฉลี่ยของปริมาณของแข็งแขวนลอยที่สูญเสียไปจากพื้นที่ 119.99 กิโลกรัม/ไร่/ปี (0.75 ตัน/เฮกเตอร์/ปี) ขณะที่แปลงศึกษาที่ไม่เกิดดินถล่มมีค่าเฉลี่ยของปริมาณของแข็งแขวนลอย 54.74 กิโลกรัม/ไร่/ปี (0.34 ตัน/เฮกเตอร์/ปี) แสดงดัง Table 5 อย่างไรก็ตาม

การสูญเสียดินของระบบวนเกษตรแบบสวนไม้ผลผสมทึ้งในสถานการณ์ปกติและที่เคยเกิดดินถล่มมาแล้วประมาณ 10 ปี อยู่ในระดับน้อยมาก (ระดับ 0-2 ตัน/ไร่/ปี) ตามเกณฑ์การจำแนกชั้นความรุนแรงของการสูญเสียดินของกรมพัฒนาที่ดิน (Land Development Department, 2000) เนื่องจากลักษณะโครงสร้างของเรือนยอด (canopy structure) ในพื้นที่เคยเกิดดินถล่มดังกล่าว มีสภาพการปักคูลของเรือนยอดชั้นบนสุด

ค่อนข้างซิดกัน (relatively closed canopies) แต่มีลักษณะไม่หนาแน่นเท็บ ไม่ยืนต้นขนาดใหญ่มีความหนาแน่นประมาณ 73.6 ตัน/ไร่ ซึ่งแตกต่างจากสวนวนเกษตรที่ไม่เกิดดินถล่ม ที่มีการตัดฟันต้นไม้ป่าขนาดใหญ่ออกเพื่อปลูกไม้ผลเศรษฐกิจที่มีระยะปลูกแตกต่างกัน จึงทำให้เกิดช่องว่างหรือมีพื้นที่เปิดกว้างในสวนวนเกษตร (Boonyanuphap *et al.*, 2018)

Table 5 The amount of soil loss in the mixed fruit tree-based agroforestry and mixed fruit tree-based agroforestry under landslide conditions during the rainy season of year 2016.

Plots code	Plot size (m ²)	Runoff (mm)	Runoff (Cu.m)	Runoff (Cu.m/Rai/Year)	SS (kg)	Settleable solids (kg)	suspended solid (kg/Rai/Year)	Total suspended solid (kg/Rai/Year)	
								Mean	S.D.
FN01	64	8.750	14.000	350.00	0.4597	2.096	63.90	54.74 ^{ns}	11.01
FN02	48	16.279	26.046	868.20	0.3503	0.925	42.52		
FN03	48	5.260	8.416	280.53	0.2948	1.439	57.81		
FS01	24	5.715	9.145	609.67	0.1396	0.641	52.05	119.99 ^{ns}	61.44
FS02	24	32.392	51.827	3,455.13	0.1883	1.856	136.29		
FS03	24	15.602	24.962	1,664.13	0.5907	1.984	171.64		

Remarks : Suspended solid: SS; ns: not significant indicated by p=0.074 derived from independent t-test

สรุป

ภัยพิบัติดินถล่มเป็นปัจจัยขับเคลื่อนที่สำคัญต่อการเปลี่ยนแปลงกระบวนการทางอุทกวิทยา (hydrological change) ของระบบนิเวศวนเกษตรแบบสวนไม้ผลผสมบริเวณแหล่งต้นน้ำของพื้นที่ตำบลแม่พูด อำเภอหลักแล จังหวัดอุตรดิตถ์ การสร้างแบบจำลองแสดงความสัมพันธ์ระหว่างปริมาณน้ำฝน-น้ำไหล哺้ำ-ของแข็งแขวนลอย (rainfall-runoff-suspend solids modeling) ทำให้สามารถคาดการณ์อิทธิพลของปริมาณน้ำฝนที่มีต่อปริมาณน้ำไหล哺้ำหน้าดินและปริมาณของแข็งแขวนลอย ซึ่งส่งผลโดยตรงต่อกระบวนการกร่อนของดินในพื้นที่ศึกษา ปริมาณน้ำไหล哺้ำหน้าดินและการสูญเสียดินอันเนื่องมาจากปริมาณของแข็งแขวนลอยที่สูญเสีย

ไปทั้งหมดในรอบปี 2559 ของระบบวนเกษตรแบบสวนไม้ผลผสมที่เคยเกิดดินถล่มมาแล้ว 10 ปี มีมากกว่าระบบนิเวศเดียวที่ไม่เกิดดินถล่มอย่างมีนัยสำคัญทางสถิติ นอกจากปริมาณน้ำฝนแล้ว ยังมีปัจจัยอื่นที่มีอิทธิพลต่อปริมาณน้ำไหล哺้ำหน้าดินด้วยเช่นกัน ขณะที่ปริมาณของแข็งแขวนลอยยังได้รับอิทธิพลจากปัจจัยอื่นนอกจากปริมาณน้ำไหล哺้ำหน้าดินเพียงอย่างเดียว เช่น สภาพภูมิประเทศ การปักคูลเรือนยอดไม้ใหญ่ ความหนาแน่นของพื้นลังห้องหรือสิ่งปักคูลดิน และการปฏิบัติทางการเกษตรที่แตกต่างกันของเจ้าของที่ดิน ความเข้าใจต่อผลวัตถุของกระบวนการทางอุทกวิทยาอันเนื่องมาจากดินถล่ม ทำให้ได้ข้อมูลสำคัญเพื่อใช้ในการประเมินผลกระทบที่อาจเกิดขึ้นในอนาคต ซึ่งนำไปสู่การตัดสินใจค้นหาแนวทางการควบคุมการกร่อนของดินเพื่อลดปริมาณการ

สูญเสียหน้าดินและการทับถมของตะกอนดินระยะยาว
ในพื้นที่ไดร์บผลกระทบจากภัยพิบัติดินถล่ม

คำนิยม

คณวิจัยขอขอบคุณมหาวิทยาลัยเรศวรที่
สนับสนุนทุนวิจัย และขอขอบคุณเกษตรกรเจ้าของสวน
ในการอนุญาตให้ติดตั้งอุปกรณ์เก็บข้อมูลปริมาณน้ำฝน
และแปลงศึกษาน้ำไหล่บ่าหน้าดินในพื้นที่สวนไม้ผลสม
แบบวนเกษตรตลอดระยะเวลาการดำเนินโครงการวิจัย

REFERENCES

- Boonyanuphap, J. 2013. Cost-benefit analysis
of vetiver system-based rehabilitation
measures for landslide-damaged
mountainous agricultural lands in the
lower Northern Thailand. **Natural
Hazards** 69(1): 599-629.
- _____, P. Thonglem. 2011. Land Evaluation
and Land Readjustment Guideline
for Zoning of Agro-economic and
Protected Areas in Steep Mountainous
Upstream Area. Final Research Report.
Thai Health Promotion Foundation,
Bangkok. (in Thai)
- _____, P. Thonglem and L. Raksanok. 2016.
**Economic Valuation of Slope
Stabilization Methods for Landslide
Prevention in Maepoon Sub-district:
Its Implication on Payment for
Ecosystem Services.** Research Report.
The Chai Pattana Foundation, Bangkok.
(in Thai)
- _____, W. Punsak and O. Teetawasak. 2018.
**Water Balance Assessment in Upstream
Ecosystems and Guideline for Public
Participatory Water Resources
Management under Climate Change**
and Landslide. Research Report.
Biodiversity-based Economy Development
Office (Public Organization), Bangkok.
(in Thai)
- _____, K. Maosew, A. Wongmun and P.
Moolthasit. 2019. Rainfall crown
interception and partitioning in mixed
fruit tree-based agroforestry system in
the landslide area. **Thai Journal of
Forestry** 38(2): 56-70. (in Thai)
- Chankaew, K. 1996. **Principles of Watershed
Management.** Department of
Conservation, Faculty of Forestry,
Kasetsart University, Bangkok. (in Thai)
- Chow, M.F., Z. Yusop and M. Mohamed. 2011.
Quality and first flush analysis of
stormwater runoff from a tropical
commercial catchment. **Water Science
and Technology** 63(6): 1211-1216.
- Crim, J.F., J.E. Schoonover, K.W.J. Williard, J.W.
Groninger, J.J. Zaczek and C.M. Ruffner.
2011. Evaluation of erosion and
sedimentation associated with tracked
vehicle training, pp. 375-388. In
**Proceedings of the 17th Central
Hardwood Forest Conference.** 5-7
April 2010. Lexington, KY; Gen. Tech.
Rep. NRS-P-78. Newtown Square, PA:
U.S. Department of Agriculture, Forest
Service, Northern Research Station.
- IBM Corp. 2016. **IBM SPSS Statistics for Windows,
Version 24.0.** IBM Corp., Armonk, New
York.
- Keawpromta, S. 2003. **Preliminary Study on
Soil and Water Losses from Different
Land Uses within Small Watershed
at Huai Raeng – Klong Peed Amphoe
Borai and Amphoe Muang Trat**

- Province. M.S. Thesis, Kasetsart University. (in Thai)
- Land Development Department. 2000. **Soil Erosion in Thailand.** First Press Limited Partnership, Bangkok. (in Thai)
- Maosew, K. and J. Boonyanuphap. 2017. Economic loss in plant diversity of mixed fruit tree-based agroforestry system caused by landslide in Lablae district, Uttaradit province. **Khon Kaen Agricultural Journal** 45(4): 633-644. (in Thai)
- _____, A. Wongmun and J. Boonyanuphap. 2019a. Change in economic value of forest ecosystem services caused by landslide in the upstream region of the lower northern Thailand. **Songkranakarin Journal of Science and Technology** 41(2): 421-435.
- _____, K. Thanacharoenchanaphas and J. Boonyanuphap. 2019b. Valuation of carbon stock in undisturbed natural forest and mixed fruit tree-based agroforestry system by landslide and under natural succession. **Thai Journal of Forestry** 38(1): 81-95.
- Tangtham, N. 1984. **Control of Soil Erosion.** Department of Conservation, Faculty of Forestry, Kasetsart University, Bangkok. (in Thai)
- _____. 2002. **Mathematical Models of Soil Erosion and Sediment Pollution in Watershed.** Department of Conservation, Faculty of Forestry, Kasetsart University, Bangkok. (in Thai)
- United States Environmental Protection Agency [U.S. EPA]. 1999. **Preliminary Data Summary of Urban Storm Water Best Management Practices.** EPA-821-R-99-012. Washinton, D.C.
- Vannote, R.L., G.W. Minshall, K.W. Cummins, J.R. Sedell and C.E. Cushing. 1980. The river continuum concept. **Canadian Journal of Fisheries and Aquatic Sciences** 37(1): 130-137.
- Wigmosta, M.S., L.J. Lane, J.D. Tagesstad and A.M. Coleman. 2009. Hydrologic and erosion models to assess land use and management practices affecting soil erosion. **Journal of Hydrologic Engineering** 14(1): 27-41.
- Wongmun, A., K. Maosew and J. Boonyanuphap. 2017. Value of soil ecosystem services in the upstream regions impacted by landslide in Maephoon sub-district, Lablae district, Uttaradit province. **Thai Journal of Forestry** 36(1): 99-112. (in Thai)
- _____, K. Maosew and J. Boonyanuphap. 2019a. The available water capacity in landslide area. **Khon Kean Agricultural Journal** 47(2): 211-224. (in Thai)
- _____, S. Chuenchooklin, S. Choosumrong and J. Boonyanuphap. 2019b. Assessment of soil water content in landslide-damaged upstream ecosystems using Soil and Water Assessment Tool (SWAT) model. **Thai Journal of Forestry** 38(1): 96-111. (in Thai)